

Кафедра квантовой радиофизики и электроники

Отчет по лабораторной работе №1

**Исследование твердотельных структур методом  
ЭПР-спектроскопии**

Выполнили студенты 440 группы  
Виноградов И.Д., Понур К.А., Шиков А.П.

Нижний Новгород, 2019

# 1. Теоретическая часть

## 1.1. Условия выделения кривых и дисперсии на детекторе

Волноводный отражательный резонатор с отверстием связи можно представить в виде эквивалентного колебательного контура, импеданс которого определяется выражением

$$Z = R + i[\omega L_0 - \frac{1}{\omega C}],$$

где  $R$ ,  $L_0$  и  $C$  – эквивалентные сопротивление, индуктивность и ёмкость соответственно. При наличии парамагнетика с магнитной проницаемостью  $\mu$  индуктивность резонатора будет записываться как  $L = \mu L_0$ . При частичном заполнении резонатора образцом магнитная проницаемость выражается через восприимчивость  $\chi$  следующим образом

$$\mu = 1 + 4\pi\eta\chi,$$

где  $\chi$  – коэффициент заполнения резонатора парамагнетиком. В результате получаем

$$Z = R + i\frac{L_0}{\omega}\left(\omega^2 - \frac{1}{L_0 C}\right) + i\omega L_0 \cdot 4\pi\eta\chi.$$

Величина  $\frac{1}{\sqrt{L_0 C}}$  дает собственную частоту резонатора. При резонансе  $\omega^2 = \frac{1}{L_0 C} = \omega_0^2$  и выражение для  $Z$  принимает вид

$$Z = R + i\omega L_0 \cdot 4\pi\eta\chi = R(1 + i4\pi\eta\chi'Q + 4\pi\eta''Q),$$

где  $Q = \frac{\omega L_0}{R}$  – добротность резонатора. Если обозначить характеристическое сопротивление волновода через  $Z_0$ , то комплексный коэффициент отражения от резонатора  $\Gamma$ , определяемый как отношение амплитуды падающего на резонатор поля  $E_n$  к амплитуде отраженного поля, будет равен

$$\Gamma = \frac{Z - Z_0}{Z + Z_0}$$

С учётом этого отраженную от резонатора сигнальную волну в точке детектирования можно записать в виде

$$E_1 = |E_n| \cdot \Gamma \cdot e^{-i4\pi\frac{L_1}{\lambda}},$$

где  $L_1$  – длина волноводного плеча от детектора до резонатора. Кроме этой волны на детектор поступает сигнал, отраженный от балансного плеча

$$E_2 = \alpha^2 |E_n| e^{-i4\pi\frac{L_2}{\lambda}},$$

где  $\alpha$  - коэффициент ослабления аттенюатора, а  $L_2$  - соответствующая длина балансного плеча. Суммарное поле на детекторе получим в следующем виде:

$$E = |E_n| \cdot e^{-i4\pi \frac{L_1}{\lambda}} \cdot \left\{ \Gamma + \alpha^2 e^{-i4\pi \frac{L_2-L_1}{\lambda}} \right\}.$$

При малых уровнях СВЧ-мощности ток детектора пропорционален квадрату напряженности поля  $E$  в этом случае имеем

$$i_{\text{дет}} = S|E|^2 = SP_n \cdot \left| \Gamma + \alpha^2 e^{-i4\pi \frac{L_2-L_1}{\lambda}} \right|^2,$$

где  $S$  - коэффициент преобразования детектора, а  $P_n$  - мощность, падающая на резонатор. Используя неравенства  $\chi' \ll 1$ ,  $\chi'' \ll 1$  и условие хорошей согласованности волновода с резонатором, получаем вид сигнала ЭПР:

$$i_{\text{дет}} = SP_n \cdot 4\pi Q\eta \left[ \chi'' \cos\left(\frac{4\pi}{\lambda} \Delta L\right) - \chi' \sin\left(\frac{4\pi}{\lambda} \Delta L\right) \right] \quad (1)$$

Отсюда следует, что в зависимости от положения замыкающего поршня балансного плеча сигнал на выходе детектора может быть пропорционален либо  $\chi'$ , либо  $\chi''$ . При разности  $\Delta L = L_2 - L_1$ , кратной  $\frac{\lambda}{4}$ , ток детектора будет пропорционален  $\chi''$ , а при дополнительном сдвиге на  $\frac{\lambda}{8}$  - пропорционален кривой  $\chi'$ .

## 1.2. Определение числа парамагнитных частиц в образце

Чтобы получить соотношение, позволяющее определить число парамагнитных частиц исходя из характеристики наблюдаемого сигнала ЭПР, воспользуемся выражением (1). При  $\Delta L \simeq \frac{\lambda}{4}$  имеем

$$i_{\text{дет}} \simeq SP_n \cdot 4\pi Q\eta \chi''.$$

Введем технический коэффициент  $A$ , характеризующий коэффициент усиления тракта «детектор-усилитель-осциллограф». Его величину можно измерить, подавая известный по величине модулированный СВЧ-сигнал на детекторную головку и измеряя при этом амплитуду видеосигнала на экране осциллографа. Если обозначить через  $L_M$  высоту видеосигнала модуляции на экране, а  $P_M$  - величину модулированной компоненты СВЧ-мощности, то коэффициент усиления  $A$  будет равен  $\frac{L_M}{P_M}$ . Если учесть такого рода амплитудную калибровку, высота сигнала ЭПР на экране осциллографа может быть записана как

$$L_C = AP_n \cdot 4\pi Q\eta \chi''(\omega_0) \quad (2)$$

Коэффициент заполнения  $\eta$  определяется как отношение двух интегралов вида  $\int H_1^2 d\nu$  по объему образца и резонатора соответственно. В условиях данной ЭПР-установки с

достаточной степенью точности можно считать

$$\eta \simeq \frac{2V_{\text{обр}}}{V_{\text{рез}}}.$$

Значение  $\chi''$  для малых полей  $H_1$  при  $\omega = \omega_0$  можно записать в виде

$$\chi''(\omega_0) = \frac{N_0 \mu^2}{3KT} \omega_0 T_2^*$$

Отсюда количество парамагнитных частиц можно оценить как

$$N_0 = 3KT \frac{\chi''(\omega_0)}{\mu^2 \omega_0 T_2^*}. \quad (3)$$

Сопоставляя (2) и (3) получаем окончательно

$$N_0 = \frac{3KT}{8\pi Q \mu^2 \omega_0 T_2^*} \cdot \frac{L_C}{L_M} \cdot \frac{P_M}{P_n} \cdot \frac{V_{\text{рез}}}{V_{\text{обр}}} \quad (4)$$

## 2. Экспериментальная часть

### 2.1. Исследование ЭПР в молекулах дифенила

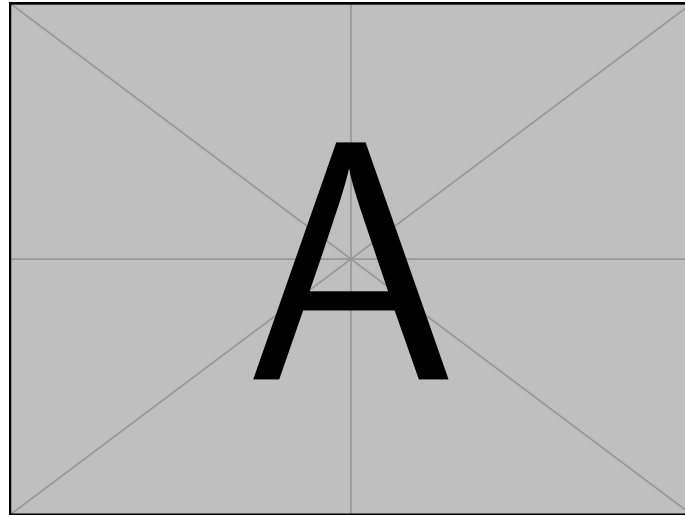


Рис. 1: Принципиальная схема установки

**Получение на экране осциллографа кривых поглощения и дисперсии сигнала ЭПР.** Для исследования ЭПР в молекулах дифенила, образец был помещен в резонатор, и произведена первоначальная настройка установки. Клистронный генератор был настроен на центр одной из зон по максимуму мощности ( $\nu = 8.96$  ГГц при  $\alpha = 0$ ), а резонаторная камера была настроена в резонанс (соотв. минимуму сигнала при  $\alpha = 1$ ).

При подключенном к выходе детектора был включен источник постоянного тока для магнитных катушек. Поле  $H_0$  было выведено на резонансное значение  $H_0 = 3547$  Гс (при значении тока  $I_0 = 160$  мА). Момент резонанса был определен по характерной наблюдаемой осциллограмме (см. рис. ??).

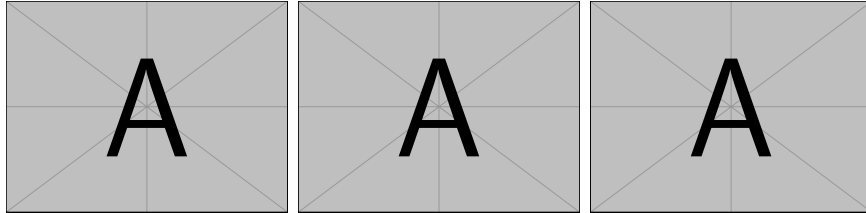


Рис. 2: Осциллограмма ЭПР(а), (б), (в)

Для получения кривых  $\chi'$  и  $\chi''$ , в соответствии с формулой ?? (при  $\alpha = 0$ ) перемещался плунжер балансного плеча. Полученные осциллограммы приведены на рис. ??.

**Измерение ширины линий поглощения сигнала ЭПР в единицах поля.**

**Расчет ширины линии в единицах частоты.**

**Определение числа парамагнитных частиц в образце.** Для вычисления числа парамагнитных частиц, воспользуемся пунктом 1.2 теории и формулой (4).

$$N_0 = \frac{3KT}{8\pi Q\mu^2\omega_0 T_2^*} \cdot \frac{L_C}{L_M} \cdot \frac{P_M}{P_n} \cdot \frac{V_{\text{рез}}}{V_{\text{обр}}},$$

где  $T_2^*$  – время поперечной релаксации,  $K$  – постоянная Больцмана,  $\mu$  – магнитная проницаемость дифенила,

Свыше нам даны следующие величины:

$$Q = 5000, \quad \frac{V_{\text{рез}}}{V_{\text{обр}}} \simeq 200, \quad \frac{P_M}{P_n} = 1$$

Из эксперимента остается определить собственную частоту резонатора  $\omega_0$  (нашли в 2.1.3), время поперечной релаксации  $T_2^*$  и отношение  $L_C/L_M$  (нашли двумя параграфами выше).

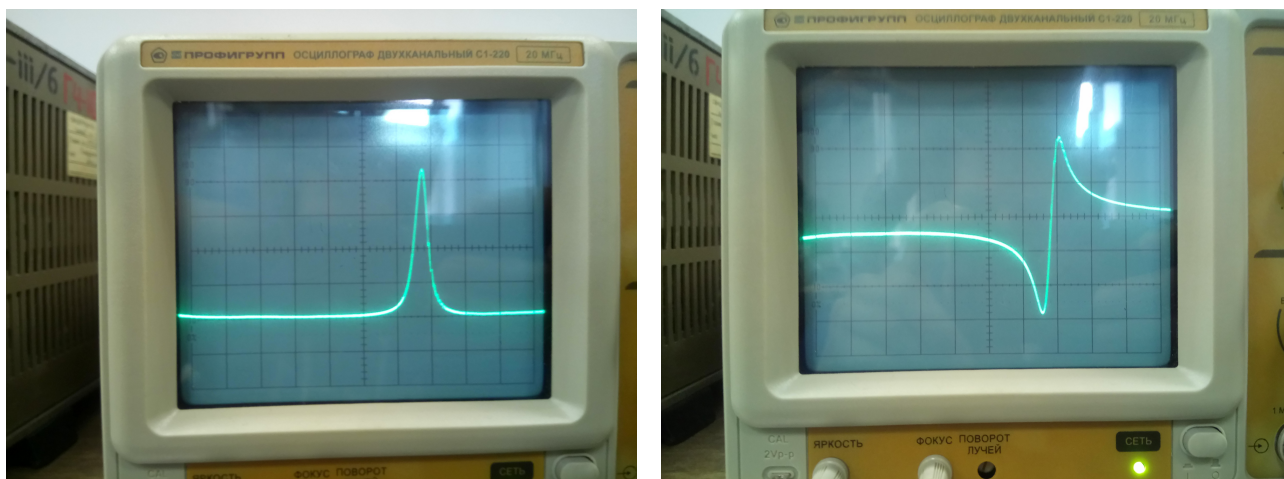


Рис. 3: Кривые  $\chi'$  и  $\chi''$  на экране осциллографа